

І.Л. Беженар

В.Т. Бачинський

І.Г. Савка

Л.М. Гриндей\*

Буковинський державний медичний університет

\*Чернівецький Національний університет ім. Юрія Федьковича

# СТАТИСТИЧНИЙ АНАЛІЗ АЗИМУТІВ ПОЛЯРИЗАЦІЇ ЗОБРАЖЕНЬ ЗАЖИТТЕВИХ ТА ПОСМЕРТНИХ УШКОДЖЕНЬ ШКІРИ ЛЮДИНИ В СУДОВІЙ МЕДИЦИНІ

**Ключові слова:** тілесні ушкодження, статистичний аналіз, азимути поляризації, гістологічні зразки.

**Резюме.** Розкрито нові аспекти застосування методу лазерної поляриметрії в судово-медичній практиці. Статистичний аналіз координатних розподілів азимутів поляризаційних зображень зразків шкіри людини дозволяє здійснити диференціацію тілесних ушкоджень в часі і встановити зажиттєвість їх спричинення.

## Вступ

За останні 10 років сформувався новий напрямок дослідження біологічних тканин - лазерна поляриметрія [3-7], найбільш важливими результатами якої є встановлені механізми перетворення станів поляризації об'єктного поля, як результат проявів оптичної анізотропії кристалічного та архітектонічного рівня структури біологічних тканин.

На цій основі виявлений зв'язок між величинами азимутів і еліптичностей поляризації об'єктного поля з напрямками орієнтації та величинами двопроменезаломлення речовини фібрил (колаген, еластин, міозин, гідрокоапатит та ін.) кристалічних структур біологічних тканин [8-11].

Досягнення лазерної поляриметрії, як сучасного високоточного та інформативного методу дослідження все активніше впроваджуються в судово-медичну практику, для діагностики давності настання смерті, строків спричинення тілесних ушкоджень, встановлення механізмів виникнення травматичних ушкоджень та виду настання смерті [1,2].

## Мета дослідження

Дослідити можливості статистичного аналізу розподілів азимутів поляризації мікроскопічних зображень шкіри людини для диференціації зажиттєвого чи посмертного нанесення тілесних ушкоджень.

## Матеріал і методи

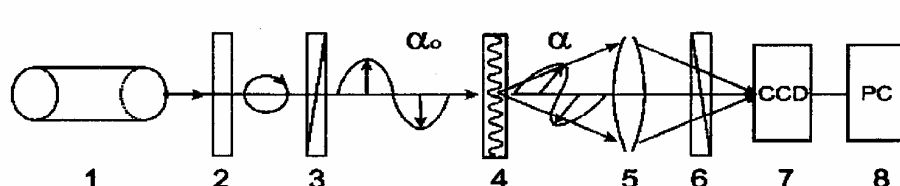
На Рис. 1 наведена оптична схема поляриметра зображеній гістологічних зразків шкіри.

Лінійно поляризоване випромінювання Не-Не лазера (1) за допомогою чвертьхвильової пластинки (2) перетворюється у циркулярно поляризоване. Поляризатор (3) визначає довільний азимут поляризації лазерного пучка, що опромінює зразок шкіри людини (4). За допомогою мікрооб'єктиву (5) зображення гістологічного зразку проектується у площину світлочутливої площинки цифрової (CCD) камери (7). Аналізатор (6) обертається навколо осі і визначає зміну інтенсивності локальних точок зображення шкіри, що реєструються комп'ютером (8).

За допомогою обертання осі пропускання аналізатора ( $\Omega$ ) в межах  $0^\circ - 180^\circ$  визначали масиви мінімальних і максимальних рівнів інтенсивності  $I_{\min}(q_{\min})$ ,  $I_{\max}(q_{\max})$  зображення шкіри людини для кожного окремого пікселя CCD-камери і відповідні їм кути повороту  $\Omega(q_{\min})$ , для яких локальне значення інтенсивності мінімальне.

Розраховували координатний розподіл азимутів поляризації зображення шкіри людини з використанням наступного співвідношення:

$$\alpha(q_{\min}) = \frac{\pi}{2} - \Omega(q_{\min}).$$



**Рис. 1.** Оптична схема вимірювання координатних розподілів азимутів поляризаційних зображень біологічних тканин: 1 - Не-Не лазер; 2 - чвертьхвильова пластинка; 3 - поляризатор; 4 - зразок шкіри людини; 5 - мікрооб'єктив; 6 - аналізатор; 7 - цифрова (CCD) камера; 8 - комп'ютер (PC)

© І.Л. Беженар, В.Т. Бачинський, І.Г. Савка, Л.М. Гриндей, 2008

Забір зразків шкіри проводився із однотипних регіональних ділянок тіла людини. Їх вилучали з ділянки стронгуляційної борозни трупів чоловічої статі віком 18-60 років, причиною смерті яких була механічна асфіксія зі стисненням органокомплексу ший зашморгом. Час від моменту отримання тілесних ушкоджень потерпілими до моменту настання смерті становив 5-8 хвилин. Посмертні ушкодження отримували шляхом затягування зашморгу на ший біоманекенів з аналогічними вихідними даними.

Гістологічні зрізи виготовляли зразу після вилучення вказаних шматків шкіри на мікротомі-кіюстаті після чого проводили дослідження їх поляризаційних властивостей.

Статистичний аналіз координатних розподілів азимутів поляризаційних зображень виконували за допомогою програм "MATLAB 6", "Statistica-6".

### Обговорення результатів дослідження

Дослідження гістологічних зрізів шкіри людини (неушкодженої шкіри, із зажиттєвим та посмертним ушкодженнями) показали результати, які наведені на Рис. 2 і 3.

Об'єктивно оцінити такі процеси можливо за допомогою визначення статистичних моментів першого і другого порядків координатних розподілів, які обчислювали за визначеними алгоритмами із врахуванням загальної кількості пікселів цифрової камери.

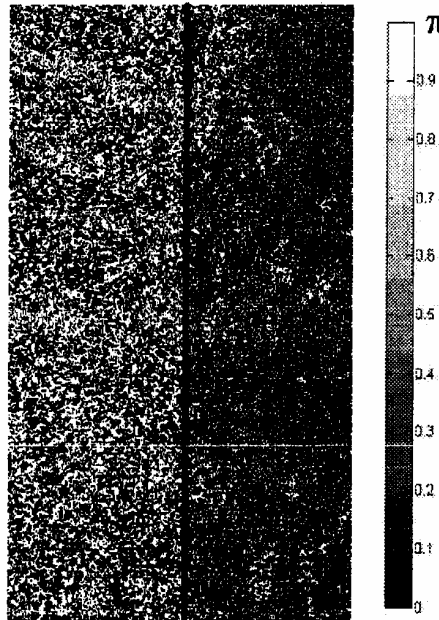
Вимірювання статистичних моментів здійснювали шляхом застосування алгоритмів для сукупності вибірок пікселів (50x50) в межах ушкодженої ділянки шкіри. В результаті отримували лінійні залежності (Рис. 4 і 5).

Подальший аналіз лінійних розподілів середнього та дисперсії азимутів поляризації виявив, що:

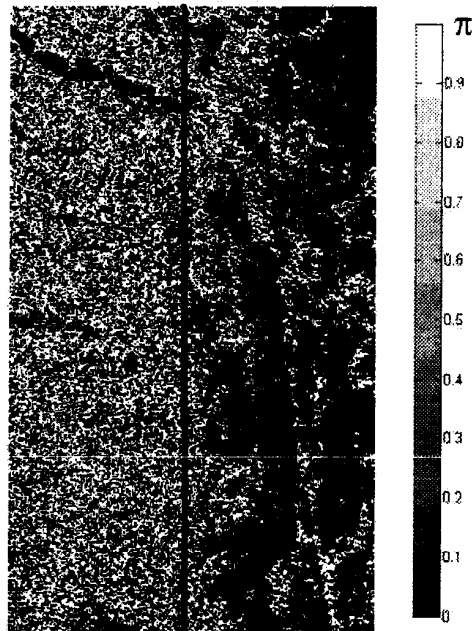
- В ділянці зажиттєвого ушкодження перший статистичний момент розподілу азимутів поляризації має тенденцію до зменшення в межах від 0,7 до 0,3 (Рис. 4а). Analogічна тенденція характерна і для залежності  $\langle \alpha \rangle(x)$ , визначеної в межах ділянки посмертного ушкодження (Рис. 4б). Проте відносні значення середнього  $\langle \alpha \rangle$  на один порядок менші і змінюються в межах 0,07-0,02.

- Протилежна тенденція спостерігається для лінійних залежностей другого статистичного моменту (дисперсії)  $\langle \alpha^2 \rangle(x)$  розподілу азимутів поляризації зображення ушкоджених ділянок шкіри людини. У ділянці зажиттєвого ушкодження дисперсія  $\langle \alpha^2 \rangle$  розподілу азимутів поляризації має тенденцію до збільшення від 0,14 до 0,26 (Рис. 5а). Зростає другий статистичний момент і випадку посмертного ушкодження (Рис. 5б), але його відносні значення у 3-5 разів менші.

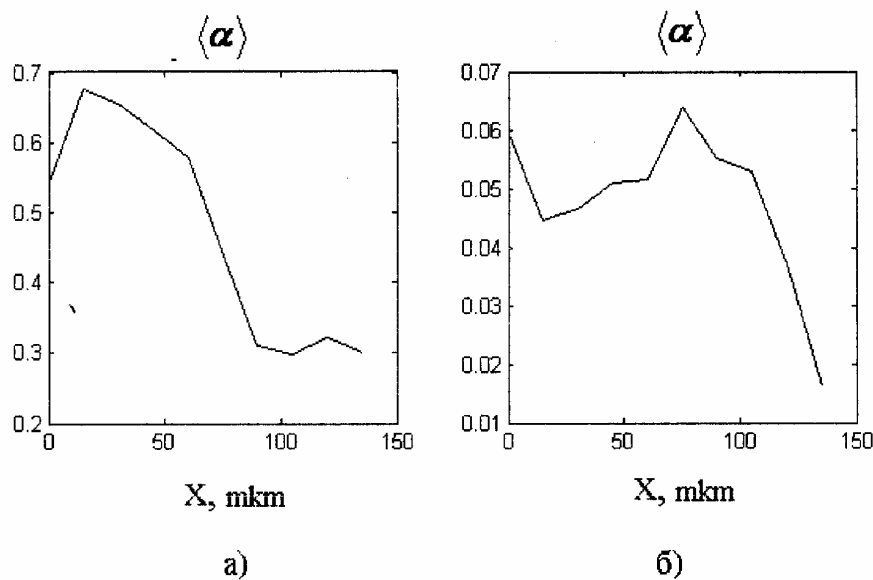
У таблиці наведені дані про величини статистичних моментів  $\langle \alpha \rangle$  та  $\langle \alpha^2 \rangle$  усереднені в межах



**Рис. 2.** Координатні розподіли азимутів поляризації неушкодженої (ліва частина) та зажиттєво ушкодженої (права частина) ділянок шкіри людини

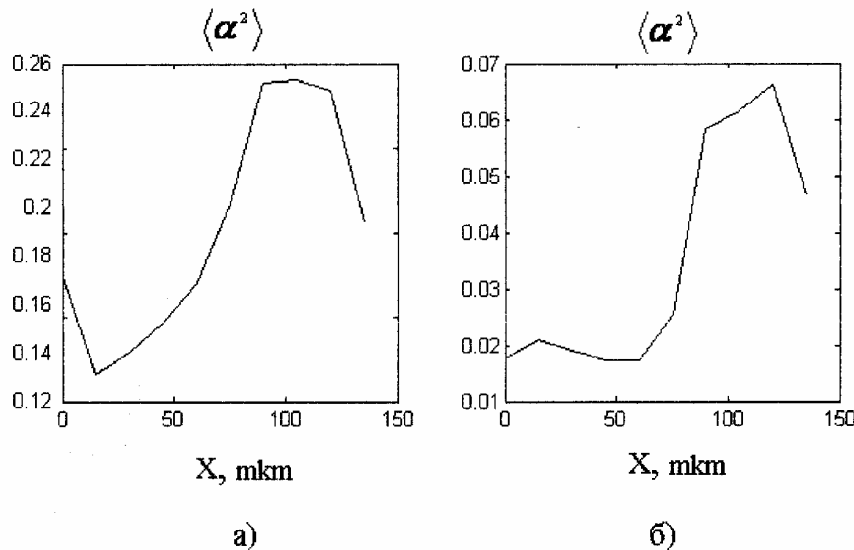


**Рис. 3.** Координатні розподіли азимутів поляризації неушкодженої (ліва частина) та посмертно ушкодженої (права частина) ділянок шкіри людини



**Рис. 4.** Координатні залежності середнього шкіри із зажиттєвим (а) та посмертним (б) ушкодженнями

розподілу азимутів поляризаційних зображень



**Рис. 5.** Координатні залежності дисперсії <math>\langle \alpha^2 \rangle</math> розподілу азимутів поляризаційних зображень шкіри із зажиттєвим (а) та посмертним (б) ушкодженнями

статистично вірогідних груп гістологічних зрізів шкіри людини.

З отриманих результатів видно, що статистичні моменти розподілу азимутів поляризації першого і другого порядків зображень шкіри суттєво відрізняються за величиною для гістологічних зрізів шкіри різних типів:

- Середнє розподілу азимутів поляризації зображень зразків шкіри із зажиттєвими ушкодженнями більше на один порядок, ніж аналогічний статистичний момент аналогічного розподілу для сукупності зразків із посмертними ушкодженнями відповідно.

- Дисперсія розподілу азимутів поляризації зображень зразків шкіри із зажиттєвими ушкодженнями більша у 3-5 разів, ніж аналогічний статистичний момент другого порядку для сукупності зразків шкіри людини із посмертними ушкодженнями відповідно.

Отримані результати можуть бути пов'язані з особливостями морфологічної будови тканини шкіри після її ушкодження. Насичена кров'ю неушкоджена дерма шкіри формує певний діапазон змін і відповідний координатний розподіл азимутів поляризації за рахунок двопроменезаломлення еритроцитів. Зажиттєве ушкодження супро-

Таблиця

## Середнє та дисперсія розподілів азимутів поляризаційних зображень шкіри людини

Статистичні моменти	Зажиттєве ушкодження (18 зразків)	Посмертне ушкодження (21 зразок)
$\langle \alpha \rangle$	0,52	0,06
$\langle \alpha^2 \rangle$	0,04	0,19

воджується зменшенням об'ємної концентрації еритроцитів. Тому спостерігається зменшення середнього розподілів азимутів поляризації світлових коливань зображень шкіри людини і на цій основі зростає дисперсія (Рис. 4). Для посмертного ушкодження об'ємна концентрація еритроцитів ще менша. Тому такі процеси повторюються, але відносні значення статистичних моментів першого і другого порядків розподілів азимутів поляризації суттєво знижуються (Рис. 5).

**Висновок**

У результаті виконаного дослідження встановлено, що статистичний аналіз координатних розподілів азимутів поляризаційних зображень зразків шкіри людини з різними типами ушкоджень дозволяє здійснити їх часову диференціацію і визначити зажиттєвість чи посмертність їх спричинення.

**Перспективи подальших досліджень**

Перспективною в судовій медицині є подальша розробка об'єктивних критеріїв для встановлення зажиттєвості спричинення тілесних ушкоджень за часу їх отримання.

**Література.** 1. Ванчуляк О.Я. Діагностика давності настання смерті методом лазерного поляриметричного моніторингу тканин людини: Автограф. дис... к-та мед. наук: 14.01.25. / НМАПО ім. П.Л.Шупика. - К., 2007. - 20с. 2. Савка І.Г., Беженар І.Л., Бачинський В.Т., Кулік О.Ф. Використання методів лазерної поляриметрії в судовій медицині // Мат. міжнар. науково-практич. конф. судових медиків та криміналістів: Актуальні питання та перспективи розвитку судової медицини та криміналістики. - Харків: Гриф, 2005. - С. 129-130. 3. Тучин В.В. Исследование биотканей методами светорассеяния // Успехи физ. наук. - 1997. - Т.167. - С.517-539. 4. Ушенко О.Г., Пішак В.П., Пішак О.В. Дослідження мікроструктури кісткової тканини у поляризованому лазерному світлі // Медичні перспективи. - 2000. - Т.5, №4. - С.3-7. 5. Ушенко О.Г., Пішак О.В., Пішак В.П. Дослідження динаміки патологічних змін дисперсії та контрасту когерентних зображень кісткової тканини // Укр.мед.альманах. - 2000. - Т.3, №4. - С.170-173. 6. Ушенко О.Г., Пішак О.В., Пішак В.П. Поляризаційно-фазова візуалізація і обробка когерентних зображень архітектонічної структури кісткової тканини // Одеськ.мед.ж.. -

2000. - №3. - С.6-7. 7. Ушенко О.Г. Лазерна поляриметрія фазово-неоднорідних об'єктів і середовищ. - Чернівці: Медакадемія, 2000. - 251с. 8. Ushenko A.G., Angelsky O.V., Wanchuliak O. Ya et al. Polarization-correlation analysis of anisotropic structures in bone tissue for the diagnostics of pathological changes // Opt. и спектр. - 2001. - Т.90, №3. - С.458-464. 9. Ushenko A.G., Angelsky O.V., Pishak V. P. et al. Laser polarimetry tomography of biotissue pathological changes // Proc. SPIE. - 2001. - Vol. 4425. - P.117-123. 10. Ushenko A.G., Pishak V.P. Laser Polarimetry of Biological Tissue. Principles and Applications in Coherent-Domain Optical Methods. Biomedical Diagnostics, Environmental and Material Science // Kluwer Academic Publishers, 2004. - P.67-93. 11. Ushenko A.G. Laser polarimetry of polarization-phase statistical moments of the objects field of optically anisotropic scattering layers // Opt. и спектр. - 2001. - Т.91, №2. - С.313-317.

**СТАТИСТИЧЕСКИЙ АНАЛИЗ АЗИМУТОВ ПОЛАРИЗАЦИИ ИЗОБРАЖЕНИЙ ПРИЖИЗНЕННЫХ И ПОСМЕРТНЫХ ПОВРЕЖДЕНИЙ КОЖИ ЧЕЛОВЕКА В СУДЕБНОЙ МЕДИЦИНЕ**

*И.Л. Беженар, В.Т. Бачинский, И.Г. Савка,  
Л.М. Гриндей\**

**Резюме.** Раскрыто новые аспекты применения метода лазерной поляриметрии в судебно-медицинской практике. Статистический анализ координатных распределений азимутов поляризационных изображений образцов кожи человека позволяет провести дифференциацию телесных повреждений во времени и установить прижизненность их нанесения.

**Ключевые слова:** телесные повреждения, статистический анализ, азимуты поляризации, гистологические срезы.

**STATISTICAL ANALYSIS OF AZIMUTHS TO POLARIZE IMAGES FOR INTAVITAL AND POSTMORTEM HUMAN SKIN INJURIES IN FORENSIC MEDICINE**

*I.L. Bezenar, V.T. Bachynskyi, I.H. Savka, L.M. Hrindei*

**Abstract.** New aspects of using the method of laser polarimetry in medico-legal practice have been disclosed. A statistical analysis of coordinate distributions of azimuths for polarization images of human skin samples makes it possible to implement a differentiation of physical injuries in the time domain and establish the intravitality of their causation.

**Key words:** bodily injuries, statistical analysis, polarization azimuths, histologic section.

**Bukovinian State Medical University (Chernivtsi)**  
*Clin. and experim. pathol.- 2008.- Vol. 7, №2.-P.14-17.  
Надійшла до редакції 18.03.2008*

Рецензент - доц. В.І. Федів  
БІБЛІОТЕКА  
БУКОВИНСЬКОГО  
МЕДУНІВЕРСИТЕТУ